

01;07

О фокусировке сферической рентгеновской волны при обратном рассеянии кристаллом, изогнутым в форме параболического цилиндра

© Т. Чен

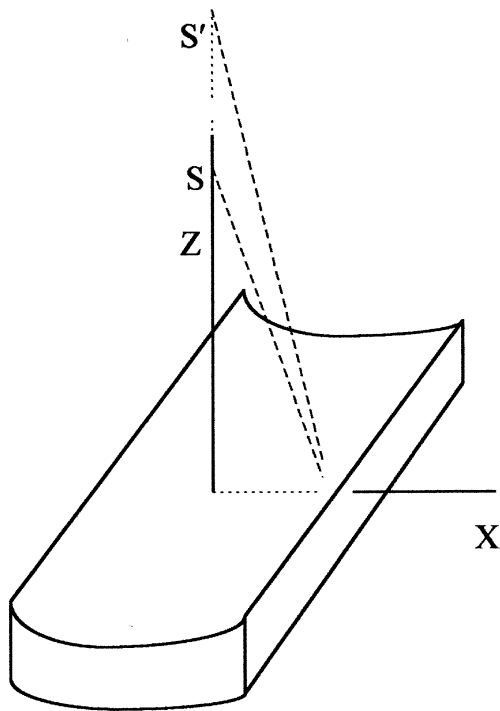
Московская государственная академия
тонкой химической технологии им. М.В. Ломоносова
E-mail: docent65@mtu-net.ru, ttchen@e-mail.ru

*Поступило в Редакцию 16 июля 2001 г.
В окончательной редакции 19 ноября 2001 г.*

Теоретически исследуется фокусировка сферической рентгеновской волны при обратном брэгговском отражении от кристалла, одноосно изогнутого в форме параболического цилиндра. На основе геометрической оптики получена аналитическая формула для размера поверхности кристалла, участвующей в обратном дифракционном отражении. Проанализирована формула для распределения интенсивности вблизи фокуса. Проведено ее сравнение с ранее существовавшим в теории выражением.

Обратное рассеяние рентгеновского излучения ($\theta_B = \pi/2$) при брэгговской дифракции на изогнутом кристалле отличается от „обычной“ дифракции ($\theta_B \neq \pi/2$) тем, что размер $2\Delta\theta \sim 2|\chi_{hr}|^{1/2}$ области полного отражения на 2–3 порядка больше. Здесь θ_B — брэгговский угол, χ_{hr} — фурье-компонента рентгеновской поляризуемости. Примерно во столько же раз возрастает светосила отраженного пучка. Кроме того, геометрические aberrации при обратном рассеянии минимизированы из-за нормального падения волны на кристалл. Указанные выше преимущества обратного рассеяния объясняют интерес к нему со стороны некоторых авторов [1–3].

В настоящей работе, используя геометрооптические представления, нами получено аналитическое выражение для нахождения размера области на поверхности изогнутого кристалла, дифракционно отражающей сферическую волну в обратном направлении. Кроме того, впервые



Принципиальная схема фокусировки сферической волны при обратном рассеянии цилиндрически изогнутым кристаллом: S — точечный источник, S' — его изображение.

получено аналитическое выражение для интенсивности вблизи фокуса, учитывающее члены $\sim x^4$ в фазе отраженной волны.

Рассмотрим одноосно-изогнутый с радиусом изгиба R_x кристалл (см. рисунок). Обозначим угол между произвольным лучем, падающим на кристалл в точке с координатами $(x, z \approx x^2/2R_x)$, и осью X через φ_{0x} . Угол между отраженным лучем и осью Z обозначим φ_{0z} . Тогда при обратном рассеянии:

$$\begin{aligned} \cos \varphi_{0x} &\cong x/L_0 - x^3(1 - L_0/R_x)/2L_0^3, \\ \cos \varphi_{0z} &\cong -1 + x^2/2L_0^2 + x^4(1/R_x - 3/4L_0)/2L_0^3. \end{aligned} \quad (1)$$

Учтем, что $\mathbf{k}_0 + \mathbf{h} = \mathbf{k}_h$, $k_0^2 = k_h^2 = k^2$, $h_0 = 2k \sin \theta_B$, $\mathbf{h} = \mathbf{h}_0 - \nabla(\mathbf{h}_0 \mathbf{u})$, \mathbf{h}_0 и \mathbf{h} — векторы обратной решетки неизогнутого и изогнутого кристаллов соответственно, $\mathbf{u}(-xz/R_x, 0, x^2/2R_x)$ — вектор смещения отражающих плоскостей кристалла при упругом изгибе, $\mathbf{k}_{0,h}$ — волновые векторы падающей и дифрагированной волн.

Тогда для угловой полуширины кривой брэгговского отражения находим:

$$\Delta\theta = \left| 2x^2/R_x L_0 + x^2/L_0^2 + x^2/R_x^2 + x^4/2R_x^2 L_0^2 - 3x^4/4L_0^4 - x^4/R_x^3 L_0 - 3x^4/4R_x^4 \right|^{1/2}. \quad (2)$$

Анализ выражения (2) для случая плоской волны ($L_0 \gg R_x$) дает:

$$\Delta\theta = |x^2/R_x^2 - 3x^4/4R_x^4|^{1/2}. \quad (3)$$

При $x^2/R_x^2 \ll 1$ из (3) получим, что размер области обратного дифракционного отражения плоской волны:

$$x_{pl} \approx R_x \Delta\theta \approx R_x |\chi_{hr}|^{1/2}. \quad (4)$$

Видно, что при этом светосила дифрагированного пучка в $|\chi_{hr}|^{-1/2}$ раз больше, чем при $\theta_B \neq \pi/2$. Заметим, что аналогичный геометрический подход к рассмотрению брэгговского отражения использовался в [4].

Иследуем теперь вопрос о распределении интенсивности в непосредственной окрестности изображения источника (фокуса). Заметим, что наряду с изгибом кристалла, при котором отражающая поверхность изгибается в форме параболического цилиндра ($z \approx x^2/2R_x$), возможен и другой способ изгиба. Кристалл может быть изогнут с удержанием отражающей поверхности плоской ($z \approx 0$, см. [5]). В настоящей работе будет использована первая модель изгиба.

Исходя из геометрических соображений найдем:

$$\begin{aligned} L_{0,h}(x) = & L_{0,h(0)} [1 + x \sin \varphi_{0,h} L_{0,h(0)} + x^2 \alpha_{0,h} / 2L_{0,h(0)} \\ & - x^3 \sin \varphi_{0,h} \cos^2 \varphi_{0,h} / 2L_{0,h}^3 + x^3 \sin \varphi_{0,h} \cos \varphi_{0,h} / 2L_{0,h(0)}^2 R_x \\ & - x^4 / 8L_{0,h(0)}^4 + x^4 \sin^2 \varphi_{0,h} / 8R_x^2 L_{0,h(0)}^2 + x^4 \cos \varphi_{0,h} / 4L_{0,h(0)}^3 R_x \\ & + 3x^4 \sin^2 \varphi_{0,h} \{1/L_{0,h} - \cos \varphi_{0,h} / R_x\} / 4L_{0,h}^3. \end{aligned} \quad (5)$$

Здесь $\cos \varphi_{0,h}$ — направляющие косинусы падающей и дифрагированной волн, $L_{0,h(0)}$ — „безабберационные“ расстояния от источника сферической волны до кристалла и от кристалла до изображения соответственно;

$$\alpha_{0,h} = \cos^2 \varphi_{0,h} / L_{0,h(0)} - \cos \varphi_{0,h} / R_x. \quad (6)$$

Рассмотрим симметричное обратное рассеяние ($\varphi_0 = \varphi_h = \pi/2 - \theta_B$). Учтем в (5) члены четвертого порядка только для дифрагированной волны. Используя динамическую теорию дифракции рентгеновского излучения в упруго-изогнутых кристаллах [5–7], найдем интенсивность дифрагированной волны вблизи точки ξ_p в непосредственной окрестности фокуса:

$$I_h(\xi_p) \sim \left| \kappa^2 C \chi_{hr} \sigma_h (8\pi^{3/2} R_x^2 \sin^2 2\theta_B)^{-1} \times \int dy R(y) \exp(-iy^2 \sigma_h^2 / 2\kappa \alpha_0) \int dx \exp \left[i\kappa \left\{ \xi_p x / L_{h(0)} - y \sigma_h x / \kappa + \alpha_h x^2 / 2 + x^4 (1/R_x - 1/2L_0) / 4L_0^2 \right\} \right] \right|^2. \quad (7)$$

Здесь $\kappa = 2\pi/\lambda$, C — поляризационный фактор, $\sigma_h = \kappa \chi_h / 2 \cos \theta_B$, λ — длина волны падающего излучения, $R(y)$ — амплитудный плосковолновой коэффициент отражения, y — нормированная угловая переменная [8].

Интеграл по x в (7) есть интеграл Пирси [9]. Тогда окончательно для интенсивности получим:

$$I_h(\xi_p) \sim 4 \left| \Phi(\kappa A_4)^{-1/4} R(y \approx 0) I_p^{y \approx 0}(A_1, A_2) \right|^2, \quad (8)$$

где Φ — множитель в (7), стоящий перед интегралом по y ,

$$I_p(A_1, A_2) = \int \exp[i(A_2 t + A_1 t^2 + t^4)] dt \quad \text{— интеграл Пирси,}$$

$$A_1 = \kappa \alpha_h / \{2(\kappa A_4)^{1/4}\}, \quad A_2 = [\kappa \xi_p / L_{h(0)} - y \sigma_h / \kappa] / \{\kappa A_4\}^{1/4}, \quad (9)$$

$$A_4 = (1/R_x - 1/2L_0) / 4L_0^2.$$

В следующих случаях при $L_0 = R_x/2$, а также, если не учитывать члены $\sim x^4$, из (7) после взятия интеграла по x и по y и с учетом геометрического условия фокусировки $\alpha_0 + \alpha_h = 0$ получаем:

$$I_h(\xi_p) \sim \left| \Phi \times J_1(\xi_p \sigma_h / \alpha_h L_{h(0)}) / (\xi_p \sigma_h / \alpha_h L_{h(0)}) \right|^2 \Theta(\xi_p / \alpha_h L_{h(0)}), \quad (11)$$

где $J_1(t)$ — функция Бесселя первого порядка действительного аргумента, $\Theta(q)$ — ступенчатая функция Хевисайда. Формула (11) совпадает с результатом, полученным авторами [10].

Список литературы

- [1] Kohra K., Matsushita M. // Z. Naturforsch. 1972. V. 27A. P. 484.
- [2] Caticha A., Caticha-Ellis S. // Phys. Rev (B). 1982. V. 25. P. 971.
- [3] Кушнир В.И., Суворов Э.В. // Письма в ЖТФ. 1988. Т. 48. В. 2. С. 109–111.
- [4] Чен Т., Бушуев В.А., Кузьмин Р.Н. // ЖТФ. 1990. В. 10. С. 60–63.
- [5] Габриелян К.Т., Чуховский Ф.Н., Пинскер З.Г. // ЖТФ. 1980. Т. 50. В. 1. С. 3–11.
- [6] Chukhovskii F.N., Gabrielyan K.T., Petrashen' P.V. // Acta Cryst. 1978. A34. P. 610–621.
- [7] Чуховский Ф.Н. // Металлофизика. 1981. Т. 3. В. 5. С. 3–30.
- [8] Пинскер З.Г. Рентгеновская кристаллооптика. М.: Наука, 1982. 392 с.
- [9] Pearsey T. // Philos. Mag. 1946. V. 37. P. 311.
- [10] Габриелян К.Т., Чуховский Ф.Н., Пискунов Д.И. // ЖЭТФ. 1989. Т. 96. В. 3 (9). С. 834–846.